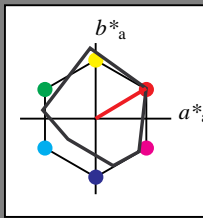


Eingabe: Farbmatisches Reflexions-System MRS18a

für Buntton $h^* = lab^*h = 31/360 = 0.086$
 lab^*tch und lab^*nch

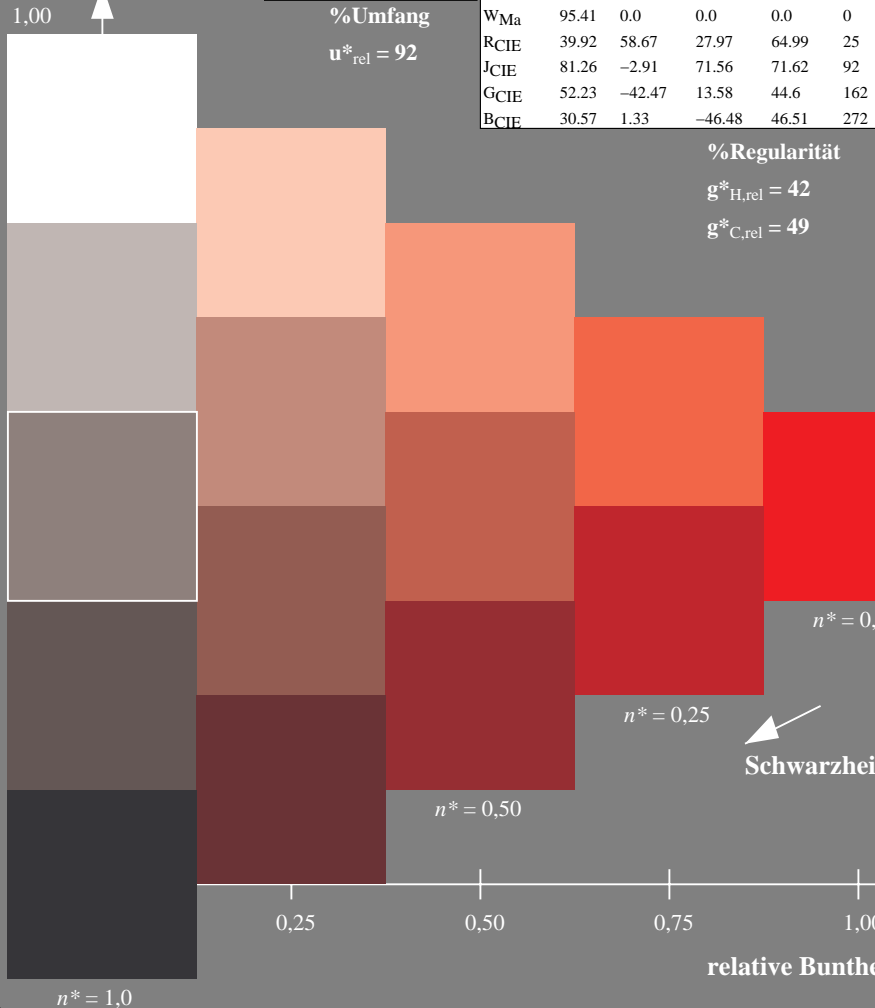
D65: Buntton R
 LCH*Ma: 50 78 31
 rgb*Ma: 1.0 0.0 0.0

Dreiecks-Helligkeit



% Umfang

$u^*_{rel} = 92$



MRS18a; adaptierte CIELAB-Daten

	$L^*=L^*_a$	a^*_a	b^*_a	$C^*_{ab,a}$	$h^*_{ab,a}$
RMa	49.63	66.8	40.02	77.87	31
JMa	90.7	-7.27	93.19	93.48	94
GMa	52.11	-69.93	11.26	70.85	171
G50B _{Ma}	45.03	-36.65	-27.13	45.61	217
B _{Ma}	36.65	23.26	-62.27	66.49	290
B50R _{Ma}	34.94	57.27	-43.6	71.99	323
N _{Ma}	18.01	0.0	0.0	0.0	0
W _{Ma}	95.41	0.0	0.0	0.0	0
RCIE	39.92	58.67	27.97	64.99	25
JCIE	81.26	-2.91	71.56	71.62	92
GCIE	52.23	-42.47	13.58	44.6	162
BCIE	30.57	1.33	-46.48	46.51	272

%Regularität

$g^*_{H,rel} = 42$

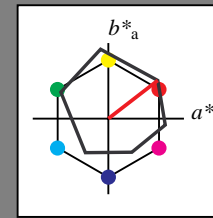
$g^*_{C,rel} = 49$

Ausgabe: Farbmatisches Reflexions-System ORS18

für Buntton $h^* = lab^*h = 38/360 = 0.105$
 lab^*tch und lab^*nch

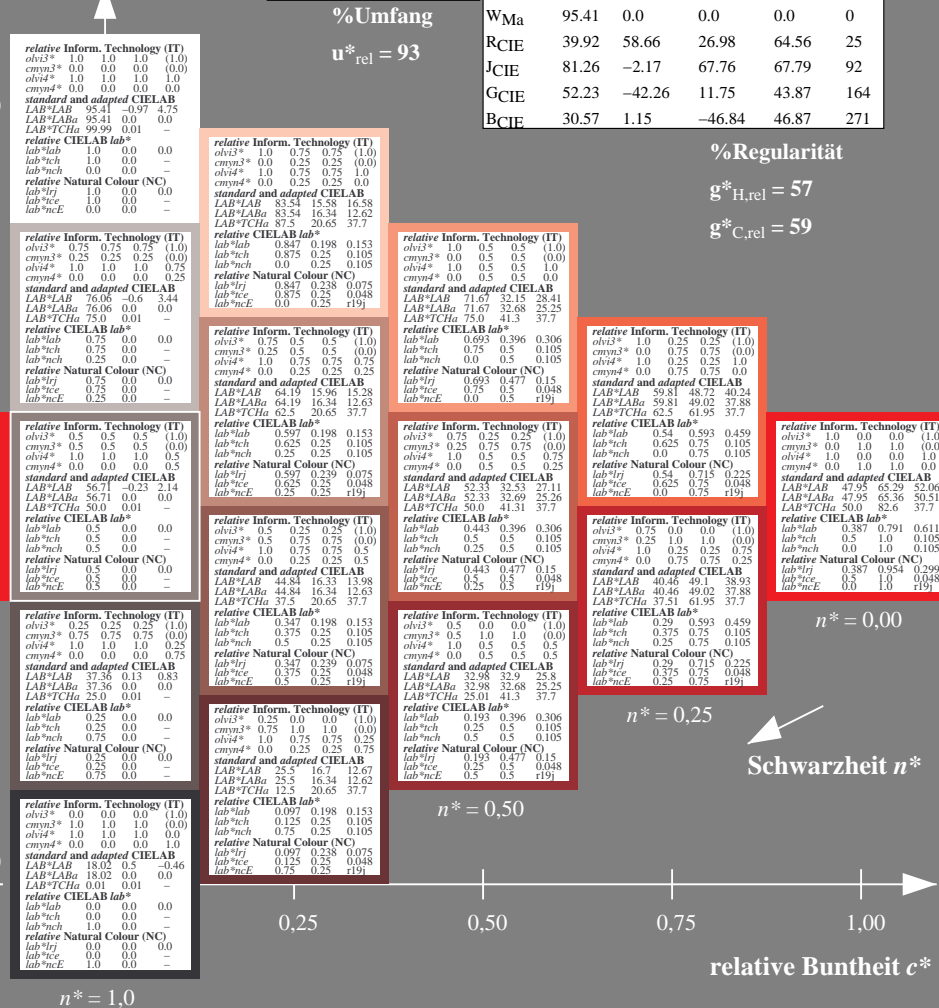
D65: Buntton O
 LCH*Ma: 48 83 38
 rgb*Ma: 1.0 0.0 0.0

Dreiecks-Helligkeit



% Umfang

$u^*_{rel} = 93$



ORS18; adaptierte CIELAB-Daten

	$L^*=L^*_a$	a^*_a	b^*_a	$C^*_{ab,a}$	$h^*_{ab,a}$
OMa	47.94	65.37	50.52	82.62	36
YMa	90.37	-10.27	91.77	92.34	98
LMa	50.9	-62.79	34.95	71.87	151
CMa	58.62	-30.35	-45.01	54.3	236
V _{Ma}	25.71	31.11	-44.42	54.24	305
M _{Ma}	48.13	75.27	-8.35	75.73	354
N _{Ma}	18.01	0.0	0.0	0.0	0
W _{Ma}	95.41	0.0	0.0	0.0	0
RCIE	39.92	58.66	26.98	64.56	25
JCIE	81.26	-2.17	67.76	67.79	92
GCIE	52.23	-42.26	11.75	43.87	164
BCIE	30.57	1.15	-46.84	46.87	271

%Regularität

$g^*_{H,rel} = 57$

$g^*_{C,rel} = 59$

UG460-7, 5stufige Reihen für konstanten CIELAB Buntton 31/360 = 0.086 (links)

5 stufige Reihen für konstanten CIELAB Buntton 38/360 = 0.105 (rechts)

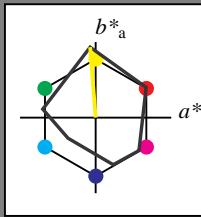
BAM-Prüfvorlage UG46; Farbmatrik-Systeme ORS18 & ORS18input: $cmY0^*$ setcmYcolor
 D65: 5stufige Farbreihen und Koordinaten-Daten für 10 Bunttöneoutput: Startup (S) data dependend

Eingabe: Farbmetrisches Reflexions-System MRS18a

für Buntton $h^* = lab^*h = 94/360 = 0.262$
 lab^*tch und lab^*nch

D65: Buntton J
 LCH*Ma: 91 93 94
 rgb*Ma: 1.0 1.0 0.0

Dreiecks-Helligkeit



MRS18a; adaptierte CIELAB-Daten

	$L^*=L^*_a$	a^*_a	b^*_a	$C^*_{ab,a}$	$h^*_{ab,a}$
RMa	49.63	66.8	40.02	77.87	31
JMa	90.7	-7.27	93.19	93.48	94
GMa	52.11	-69.93	11.26	70.85	171
G50B _{Ma}	45.03	-36.65	-27.13	45.61	217
B _{Ma}	36.65	23.26	-62.27	66.49	290
B50R _{Ma}	34.94	57.27	-43.6	71.99	323
N _{Ma}	18.01	0.0	0.0	0.0	0
W _{Ma}	95.41	0.0	0.0	0.0	0
RCIE	39.92	58.67	27.97	64.99	25
JCIE	81.26	-2.91	71.56	71.62	92
GCIE	52.23	-42.47	13.58	44.6	162
BCIE	30.57	1.33	-46.48	46.51	272

%Regularität

$g^*_{H,rel} = 42$

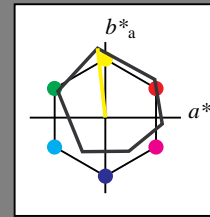
$g^*_{C,rel} = 49$

Ausgabe: Farbmetrisches Reflexions-System ORS18

für Buntton $h^* = lab^*h = 96/360 = 0.268$
 lab^*tch und lab^*nch

D65: Buntton Y
 LCH*Ma: 90 92 96
 rgb*Ma: 1.0 1.0 0.0

Dreiecks-Helligkeit



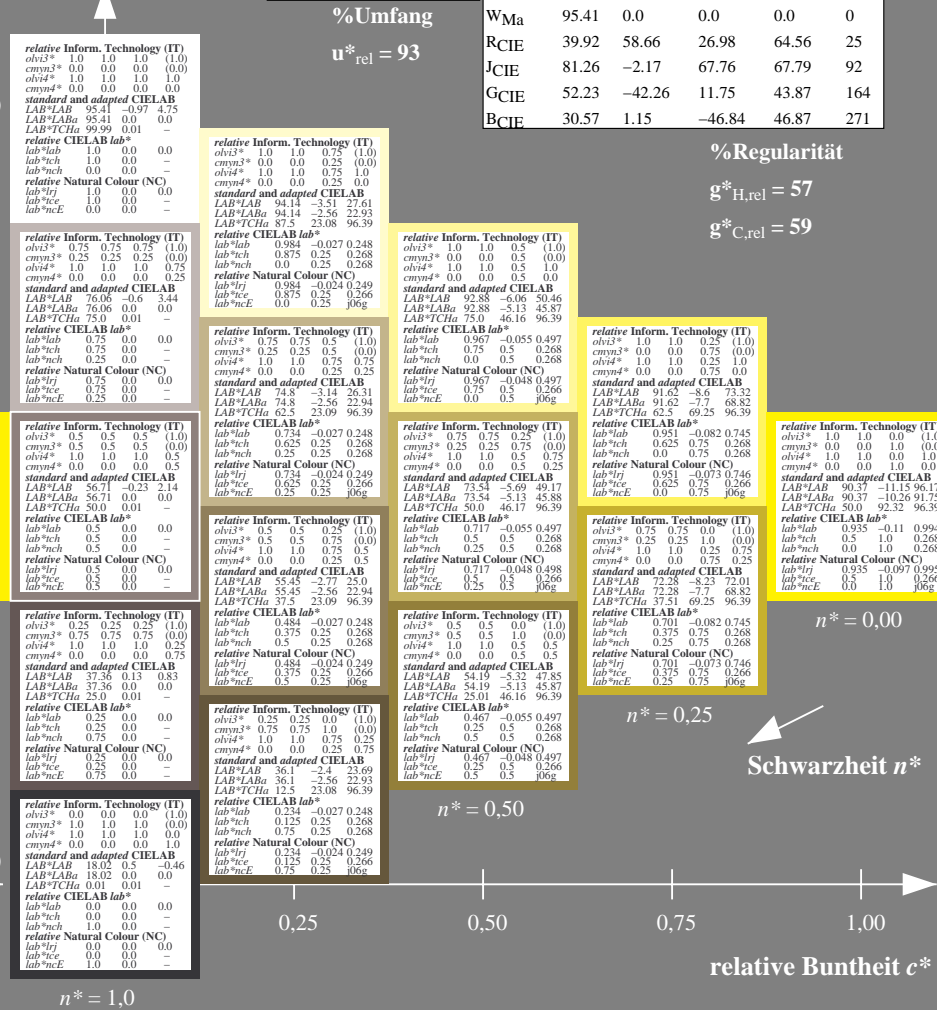
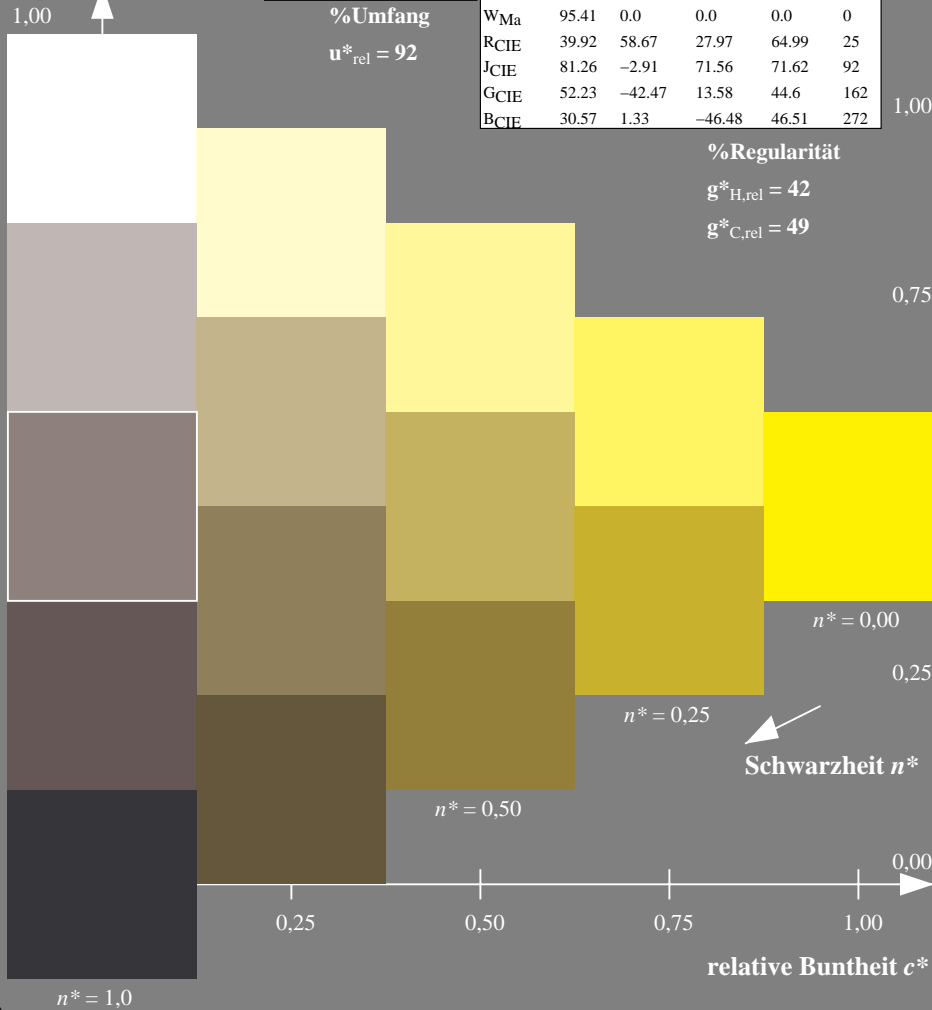
ORS18; adaptierte CIELAB-Daten

	$L^*=L^*_a$	a^*_a	b^*_a	$C^*_{ab,a}$	$h^*_{ab,a}$
OMa	47.94	65.37	50.52	82.62	38
YMa	90.37	-10.27	91.77	92.34	96
LMa	50.9	-62.79	34.95	71.87	151
CMa	58.62	-30.35	-45.01	54.3	236
V _{Ma}	25.71	31.11	-44.42	54.24	305
M _{Ma}	48.13	75.27	-8.35	75.73	354
N _{Ma}	18.01	0.0	0.0	0.0	0
W _{Ma}	95.41	0.0	0.0	0.0	0
RCIE	39.92	58.66	26.98	64.56	25
JCIE	81.26	-2.17	67.76	67.79	92
GCIE	52.23	-42.26	11.75	43.87	164
BCIE	30.57	1.15	-46.84	46.87	271

%Regularität

$g^*_{H,rel} = 57$

$g^*_{C,rel} = 59$



UG460-7, 5stufige Reihen für konstanten CIELAB Buntton 94/360 = 0.262 (links)

5stufige Reihen für konstanten CIELAB Buntton 96/360 = 0.268 (rechts)

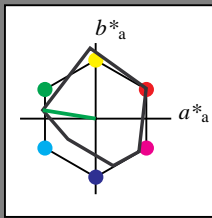
BAM-Prüfvorlage UG46; Farbmetrik-Systeme ORS18 & ORS18input: *cmY0* setcmykcolor*
 D65: 5stufige Farbreihen und Koordinaten-Daten für 10 Bunttöneoutput: *Startup (S) data dependend*

Eingabe: Farbmetrisches Reflexions-System MRS18a

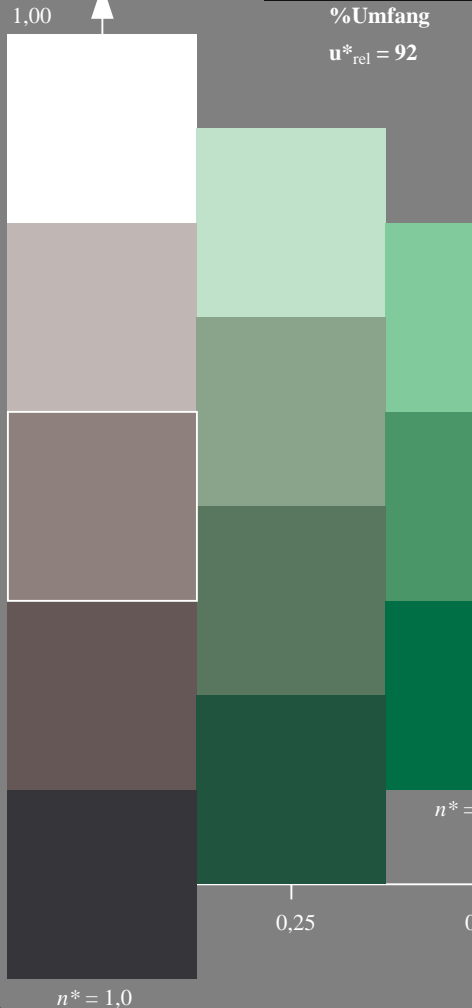
für Buntton $h^* = lab^*h = 171/360 = 0.475$
 lab^*tch und lab^*nch

D65: Buntton G
 LCH*Ma: 52 71 171
 rgb*Ma: 0.0 1.0 0.0

Dreiecks-Helligkeit



%Umfang
 $u^*_{rel} = 92$



MRS18a; adaptierte CIELAB-Daten

	$L^*=L^*_a$	a^*_a	b^*_a	$C^*_{ab,a}$	$h^*_{ab,a}$
RMa	49.63	66.8	40.02	77.87	31
JMa	90.7	-7.27	93.19	93.48	94
GMa	52.11	-69.93	11.26	70.85	171
G50B _{Ma}	45.03	-36.65	-27.13	45.61	217
B _{Ma}	36.65	23.26	-62.27	66.49	290
B50R _{Ma}	34.94	57.27	-43.6	71.99	323
N _{Ma}	18.01	0.0	0.0	0.0	0
W _{Ma}	95.41	0.0	0.0	0.0	0
RCIE	39.92	58.67	27.97	64.99	25
JCIE	81.26	-2.91	71.56	71.62	92
GCIE	52.23	-42.47	13.58	44.6	162
BCIE	30.57	1.33	-46.48	46.51	272

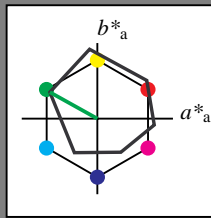
%Regularität
 $g^*_{H,rel} = 42$
 $g^*_{C,rel} = 49$

Ausgabe: Farbmetrisches Reflexions-System ORS18

für Buntton $h^* = lab^*h = 151/360 = 0.419$
 lab^*tch und lab^*nch

D65: Buntton L
 LCH*Ma: 51 72 151
 rgb*Ma: 0.0 1.0 0.0

Dreiecks-Helligkeit



%Umfang
 $u^*_{rel} = 93$

ORS18; adaptierte CIELAB-Daten

	$L^*=L^*_a$	a^*_a	b^*_a	$C^*_{ab,a}$	$h^*_{ab,a}$
OMa	47.94	65.37	50.52	82.62	36
YMa	90.37	-10.27	91.77	92.34	98
LMa	50.9	-62.79	34.95	71.87	151
CMa	58.62	-30.35	-45.01	54.3	236
V _{Ma}	25.71	31.11	-44.42	54.24	305
M _{Ma}	48.13	75.27	-8.35	75.73	354
N _{Ma}	18.01	0.0	0.0	0.0	0
W _{Ma}	95.41	0.0	0.0	0.0	0
RCIE	39.92	58.66	26.98	64.56	25
JCIE	81.26	-2.17	67.76	67.79	92
GCIE	52.23	-42.26	11.75	43.87	164
BCIE	30.57	1.15	-46.84	46.87	271

%Regularität
 $g^*_{H,rel} = 57$
 $g^*_{C,rel} = 59$

relative Inform. Technology (IT)

obv^*_3	1.0	1.0	1.0	(1.0)
$cmyn^*_3$	0.0	0.0	0.0	(0.0)
obv^*_4	1.0	1.0	1.0	1.0
$cmyn^*_4$	0.0	0.0	0.0	0.0

standard and adapted CIELAB

LAB*LAB	95.41	-0.97	4.75
LAB*LAB	95.41	0.0	0.0
LAB*TC _{Ha}	99.99	0.01	-

relative CIELAB lab*

lab*lab	1.0	0.0	0.0
lab*nch	1.0	0.0	-
lab*nch	0.0	0.0	-

relative Natural Colour (NC)

lab*trj	1.0	0.0	0.0
lab*trc	1.0	0.0	-
lab*nch	0.0	0.0	-

relative Inform. Technology (IT)

obv^*_3	0.75	0.75	0.75	(1.0)
$cmyn^*_3$	0.25	0.0	0.25	(0.0)
obv^*_4	1.0	1.0	1.0	1.0
$cmyn^*_4$	0.0	0.0	0.0	0.0

standard and adapted CIELAB

LAB*LAB	76.06	-0.6	3.44
LAB*LAB	76.06	0.0	0.0
LAB*TC _{Ha}	75.0	0.01	-

relative CIELAB lab*

lab*lab	0.75	0.0	0.0
lab*nch	0.75	0.0	-
lab*nch	0.25	0.0	-

relative Natural Colour (NC)

lab*trj	0.75	0.0	0.0
lab*trc	0.75	0.0	-
lab*nch	0.25	0.0	-

relative Inform. Technology (IT)

obv^*_3	0.75	0.75	0.75	(1.0)
$cmyn^*_3$	0.25	0.0	0.25	(0.0)
obv^*_4	1.0	1.0	1.0	1.0
$cmyn^*_4$	0.0	0.0	0.0	0.0

standard and adapted CIELAB

LAB*LAB	56.71	0.23	2.14
LAB*LAB	56.71	0.0	0.0
LAB*TC _{Ha}	50.0	0.01	-

relative CIELAB lab*

lab*lab	0.5	0.0	0.0
lab*nch	0.5	0.0	-
lab*nch	0.5	0.0	-

relative Natural Colour (NC)

lab*trj	0.5	0.0	0.0
lab*trc	0.5	0.0	-
lab*nch	0.5	0.0	-

relative Inform. Technology (IT)

obv^*_3	0.5	0.5	0.5	(0.0)
$cmyn^*_3$	0.5	0.0	0.5	(0.0)
obv^*_4	1.0	1.0	1.0	1.0
$cmyn^*_4$	0.0	0.0	0.0	0.0

standard and adapted CIELAB

LAB*LAB	45.71	0.23	2.14
LAB*LAB	45.71	0.0	0.0
LAB*TC _{Ha}	40.0	0.01	-

relative CIELAB lab*

lab*lab	0.25	0.0	0.0
lab*nch	0.25	0.0	-
lab*nch	0.25	0.0	-

relative Natural Colour (NC)

lab*trj	0.25	0.0	0.0
lab*trc	0.25	0.0	-
lab*nch	0.25	0.0	-

relative Inform. Technology (IT)

obv^*_3	0.25	0.25	0.25	(1.0)
$cmyn^*_3$	0.25	0.0	0.25	(0.0)
obv^*_4	1.0	1.0	1.0	1.0
$cmyn^*_4$	0.0	0.0	0.0	0.0

standard and adapted CIELAB

LAB*LAB	37.36	0.13	0.83
LAB*LAB	37.36	0.0	0.0
LAB*TC _{Ha}	25.0	0.01	-

relative CIELAB lab*

lab*lab	0.25	0.0	0.0
lab*nch	0.25	0.0	-
lab*nch	0.25	0.0	-

relative Natural Colour (NC)

lab*trj	0.25	0.0	0.0
lab*trc	0.25	0.0	-
lab*nch	0.25	0.0	-

relative Inform. Technology (IT)

obv^*_3	0.25	0.25	0.25	(1.0)
$cmyn^*_3$	0.25	0.0	0.25	(0.0)
obv^*_4	1.0	1.0	1.0	1.0
$cmyn^*_4$	0.0	0.0	0.0	0.0

standard and adapted CIELAB

LAB*LAB	30.57	0.13	0.83
LAB*LAB	30.57	0.0	0.0
LAB*TC _{Ha}	25.0	0.01	-

relative CIELAB lab*

lab*lab	0.106	0.0	0.0
lab*nch	0.106	0.0	-
lab*nch	0.106	0.0	-

relative Natural Colour (NC)

lab*trj	0.106	0.0	0.0
lab*trc	0.106	0.0	-
lab*nch	0.106	0.0	-

relative Inform. Technology (IT)

obv^*_3	0.0	0.0	0.0	(1.0)
$cmyn^*_3$	1.0	1.0	1.0	(0.0)
obv^*_4	1.0	1.0	1.0	1.0
$cmyn^*_4$	0.0	0.0	0.0	0.0

standard and adapted CIELAB

LAB*LAB	18.02	0.5	0.46
LAB*LAB	18.02	0.0	0.0
LAB*TC _{Ha}	0.01	0.01	-

relative CIELAB lab*

lab*lab	0.0	0.0	0.0
lab*nch	0.0	0.0	-
lab*nch	1.0	0.0	-

relative Natural Colour (NC)

lab*trj	0.0	0.0	0.0
lab*trc	0.0	0.0	-
lab*nch	1.0	0.0	-

relative Inform. Technology (IT)

obv^*_3	0.0	0.0	0.0	(1.0)
$cmyn^*_3$	1.0	1.0	1.0	(0.0)
obv^*_4	1.0	1.0	1.0	1.0
$cmyn^*_4$	0.0	0.0	0.0	0.0

standard and adapted CIELAB

LAB*LAB	15.82	0.8	0.82
LAB*LAB	15.82	0.0	0.0
LAB*TC _{Ha}	12.5	0.01	-

relative CIELAB lab*

lab*lab	0.0	0.0	0.0
lab*nch	0.0	0.0	-
lab*nch	1.0	0.0	-

relative Natural Colour (NC)

lab*trj	0.0	0.0	0.0
lab*trc	0.0	0.0	-
lab*nch	1.0	0.0	-

relative Inform. Technology (IT)

obv^*_3	0.0	0.0	0.0	(1.0)
$cmyn^*_3$	1.0	1.0	1.0	(0.0)
obv^*_4	1.0	1.0	1.0	1.0
$cmyn^*_4$	0.0	0.0	0.0	0.0

standard and adapted CIELAB

LAB*LAB	9.99	0.97	4.75
LAB*LAB	9.99	0.0	0.0
LAB*TC _{Ha}	99.99	0.01	-

relative CIELAB lab*

lab*lab	0.0	0.0	0.0
lab*nch	0.0	0.0	-
lab*nch	1.0	0.0	-

relative Natural Colour (NC)

lab*trj	0.0	0.0	0.0
lab*trc	0.0	0.0	-
lab*nch	1.0	0.0	-

relative Inform. Technology (IT)

obv^*_3	0.75	1.0	0.75	(1.0)
$cmyn^*_3$	0.25	0.0	0.25	(0.0)
obv^*_4	0.75	1.0	0.75	1.0
$cmyn^*_4$	0.25	0.0	0.25	0.0

standard and adapted CIELAB

LAB*LAB	84.28	-16.45	12.74
LAB*LAB	84.28	-15.88	8.73
LAB*TC _{Ha}	87.5	17.96	150.91

relative CIELAB lab*

lab*lab	0.75	0.0	0.0
lab*nch	0.75	0.0	-
lab*nch	0.25	0.0	-

relative Natural Colour (NC)

lab*trj	0.75	0.0	0.0
lab*trc	0.75	0.0	-
lab*nch	0.25	0.0	-

relative Inform. Technology (IT)

obv^*_3	0.75	1.0	0.75	(1.0)
$cmyn^*_3$	0.25	0.0	0.25	(0.0)
obv^*_4	0.75	1.0	0.75	1.0
$cmyn^*_4$	0.25	0.0	0.25	0.0

standard and adapted CIELAB

LAB*LAB	73.15	-31.94	20.73
LAB*LAB	73.15	-31.38	17.47
LAB*TC _{Ha}	75.0	35.93	150.91

relative CIELAB lab*

lab*lab	0.75	0.0	0.0
lab*nch	0.75	0.0	-
lab*nch	0.25	0.0	-

relative Natural Colour (NC)

lab*trj	0.75	0.0	0.0
lab*trc	0.75	0.0	-
lab*nch	0.25	0.0	-

relative Inform. Technology (IT)

obv^*_3	0.5	0.5	0.5	(1.0)
$cmyn^*_3$	0.5	0.0	0.5	(0.0)
obv^*_4	1.0	1.0	1.0	1.0
$cmyn^*_4$	0.0	0.0	0.0	0.0

standard and adapted CIELAB

LAB*LAB	64.93	-16.09	11.44
LAB*LAB	64.93	-15.69	8.74
LAB*TC _{Ha}	62.5	17.97	150.91

relative CIELAB lab*

lab*lab	0.5	0.0	0.0
lab*nch	0.5	0.0	-
lab*nch	0.5	0.0	-

relative Natural Colour (NC)

lab*trj	0.5	0.0	0.0
lab*trc	0.5	0.0	-
lab*nch	0.5	0.0	-

relative Inform. Technology (IT)

obv^*_3	0.25	0.25	0.25	(1.0)
$cmyn^*_3$	0.25	0.0	0.25	(0.0)
obv^*_4	1.0	1.0	1.0	1.0
$cmyn^*_4$	0.0	0.0	0.0	0.0

standard and adapted CIELAB

LAB*LAB	53.8	-31.57	19.42
LAB*LAB	53.8	-31.39	17.47
LAB*TC _{Ha}	50.0	35.94	150.91

relative CIELAB lab*

lab*lab	0.25	0.0	0.0
lab*nch	0.25	0.0	-
lab*nch	0.25	0.0	-

relative Natural Colour (NC)

lab*trj	0.25	0.0	0.0
lab*trc	0.25	0.0	-
lab*nch	0.25	0.0	-

relative Inform. Technology (IT)

obv^*_3	0.25	0.25	0.25	(1.0)
$cmyn^*_3$	0.25	0.0	0.25	(0.0)
obv^*_4	1.0	1.0	1.0	1.0
$cmyn^*_4$	0.0	0.0	0.0	0.0

standard and adapted CIELAB

LAB*LAB	45.58	-15.72	10.13
LAB*LAB	45.58	-15.69	8.74
LAB*TC _{Ha}	37.5	17.97	150.91

relative CIELAB lab*

lab*lab	0.25	0.0	0.0
lab*nch	0.25	0.0	-
lab*nch	0.25	0.0	-

relative Natural Colour (NC)

lab*trj	0.25	0.0	0.0
lab*trc	0.25	0.0	-
lab*nch	0.25	0.0	-

relative Inform. Technology (IT)

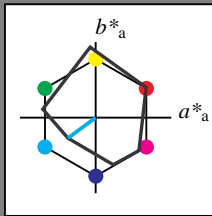
obv^*_3	0.25	0.25	0.25
-----------	------	------	------

Eingabe: Farbmetrisches Reflexions-System MRS18a

für Buntton $h^* = lab^*h = 217/360 = 0.601$
 lab^*tch und lab^*nch

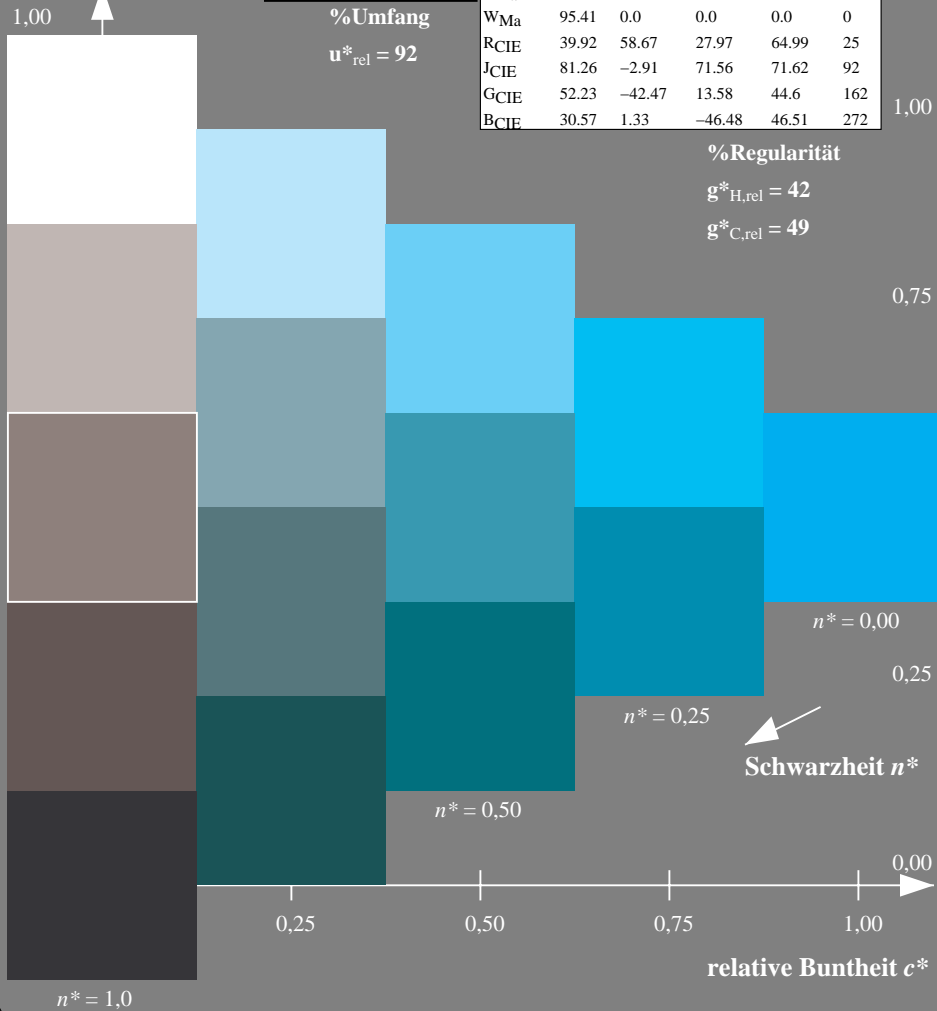
D65: Buntton G50B
 LCH*Ma: 45 46 217
 rgb*Ma: 0.0 1.0 1.0

Dreiecks-Helligkeit



MRS18a; adaptierte CIELAB-Daten

	$L^*=L^*_a$	a^*_a	b^*_a	$C^*_{ab,a}$	$h^*_{ab,a}$
RMa	49.63	66.8	40.02	77.87	31
JMa	90.7	-7.27	93.19	93.48	94
GMa	52.11	-69.93	11.26	70.85	171
G50B _{Ma}	45.03	-36.65	-27.13	45.61	217
B _{Ma}	36.65	23.26	-62.27	66.49	290
B50R _{Ma}	34.94	57.27	-43.6	71.99	323
N _{Ma}	18.01	0.0	0.0	0.0	0
W _{Ma}	95.41	0.0	0.0	0.0	0
RCIE	39.92	58.67	27.97	64.99	25
JCIE	81.26	-2.91	71.56	71.62	92
GCIE	52.23	-42.47	13.58	44.6	162
BCIE	30.57	1.33	-46.48	46.51	272



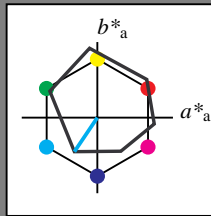
UG460-7, 5stufige Reihen für konstanten CIELAB Buntton 217/360 = 0.601 (links)

Ausgabe: Farbmetrisches Reflexions-System ORS18

für Buntton $h^* = lab^*h = 236/360 = 0.656$
 lab^*tch und lab^*nch

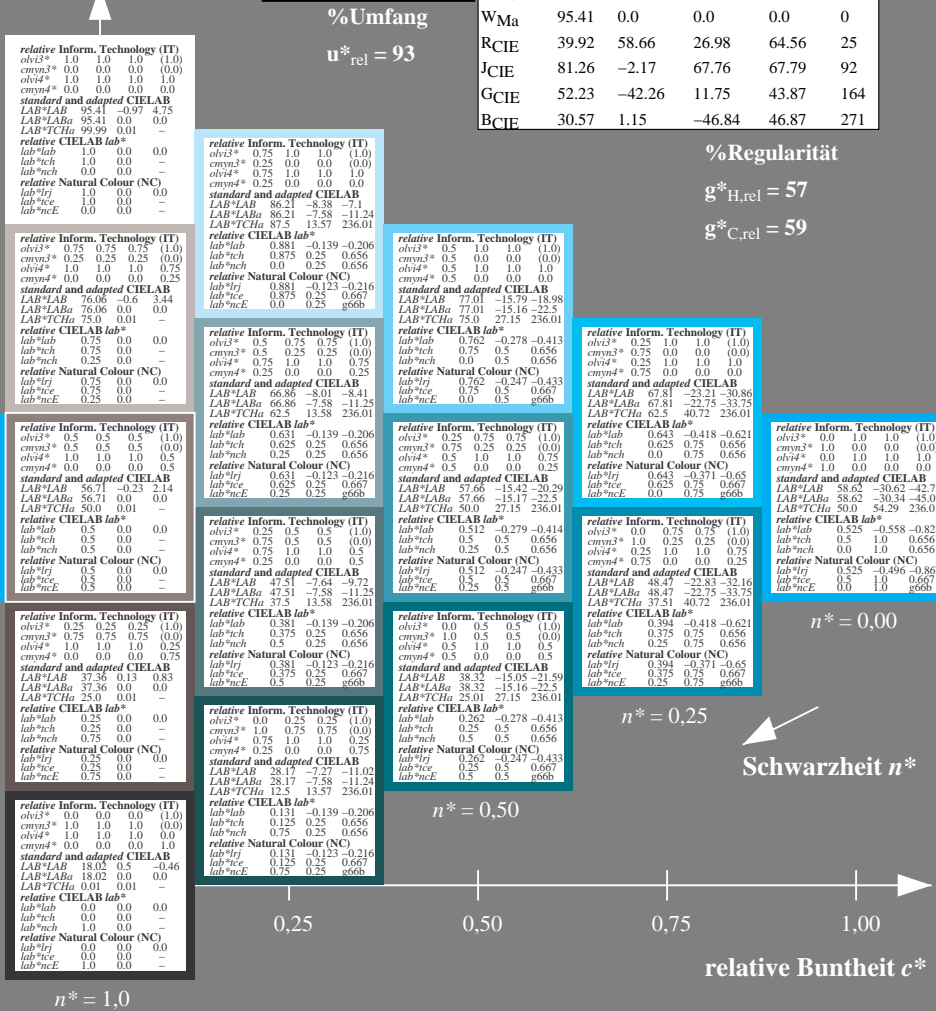
D65: Buntton C
 LCH*Ma: 59 54 236
 rgb*Ma: 0.0 1.0 1.0

Dreiecks-Helligkeit



ORS18; adaptierte CIELAB-Daten

	$L^*=L^*_a$	a^*_a	b^*_a	$C^*_{ab,a}$	$h^*_{ab,a}$
OMa	47.94	65.37	50.52	82.62	38
YMa	90.37	-10.27	91.77	92.34	96
LMa	50.9	-62.79	34.95	71.87	151
CMa	58.62	-30.35	-45.01	54.3	236
V _{Ma}	25.71	31.11	-44.42	54.24	305
M _{Ma}	48.13	75.27	-8.35	75.73	354
N _{Ma}	18.01	0.0	0.0	0.0	0
W _{Ma}	95.41	0.0	0.0	0.0	0
RCIE	39.92	58.66	26.98	64.56	25
JCIE	81.26	-2.17	67.76	67.79	92
GCIE	52.23	-42.26	11.75	43.87	164
BCIE	30.57	1.15	-46.84	46.87	271



5stufige Reihen für konstanten CIELAB Buntton 236/360 = 0.656 (rechts)

BAM-Prüfvorlage UG46; Farbmetrik-Systeme ORS18 & ORS18input: *cmY0** *setcmYcolor*
 D65: 5stufige Farbreihen und Koordinaten-Daten für 10 Bunttöneoutput: *Startup (S) data dependend*

Siehe ähnliche Dateien: <http://www.ps.bam.de/UG46/>
 Technische Information: <http://www.ps.bam.de/Version 2.1, io=0,0?>

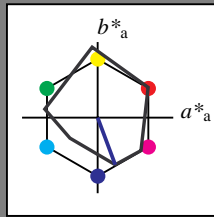
BAM-Registrierung: 20060101-UG46/10Q/Q46G03SP.PS/.PDF BAM-Material: Code=rhakta
 Anwendung für Beurteilung und Messung von Drucker- oder Monitorsystemen
 UG46 Form: 4/10, Serie: 1/1, Seite: 4
 Scherz hung 4

Eingabe: Farbmetrisches Reflexions-System MRS18a

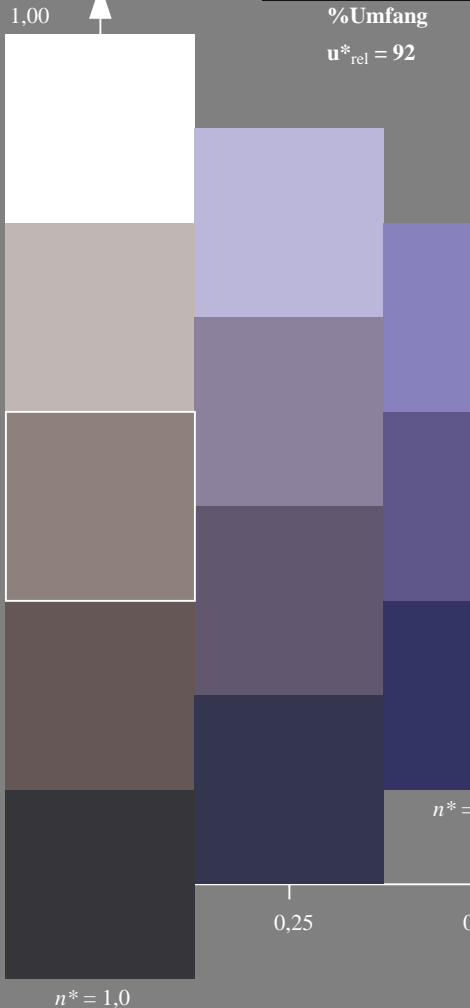
für Buntton $h^* = lab^*h = 290/360 = 0.807$
 lab^*tch und lab^*nch

D65: Buntton B
 LCH*Ma: 37 66 290
 rgb*Ma: 0.0 0.0 1.0

Dreiecks-Helligkeit



% Umfang
 $u^*_{rel} = 92$



MRS18a; adaptierte CIELAB-Daten

	$L^*=L^*_a$	a^*_a	b^*_a	$C^*_{ab,a}$	$h^*_{ab,a}$
RMa	49.63	66.8	40.02	77.87	31
JMa	90.7	-7.27	93.19	93.48	94
GMa	52.11	-69.93	11.26	70.85	171
G50B _{Ma}	45.03	-36.65	-27.13	45.61	217
B _{Ma}	36.65	23.26	-62.27	66.49	290
B50R _{Ma}	34.94	57.27	-43.6	71.99	323
N _{Ma}	18.01	0.0	0.0	0.0	0
W _{Ma}	95.41	0.0	0.0	0.0	0
RCIE	39.92	58.67	27.97	64.99	25
JCIE	81.26	-2.91	71.56	71.62	92
GCIE	52.23	-42.47	13.58	44.6	162
BCIE	30.57	1.33	-46.48	46.51	272

%Regularität

$g^*_{H,rel} = 42$

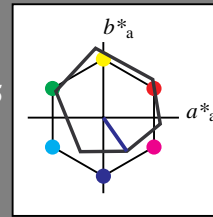
$g^*_{C,rel} = 49$

Ausgabe: Farbmetrisches Reflexions-System ORS18

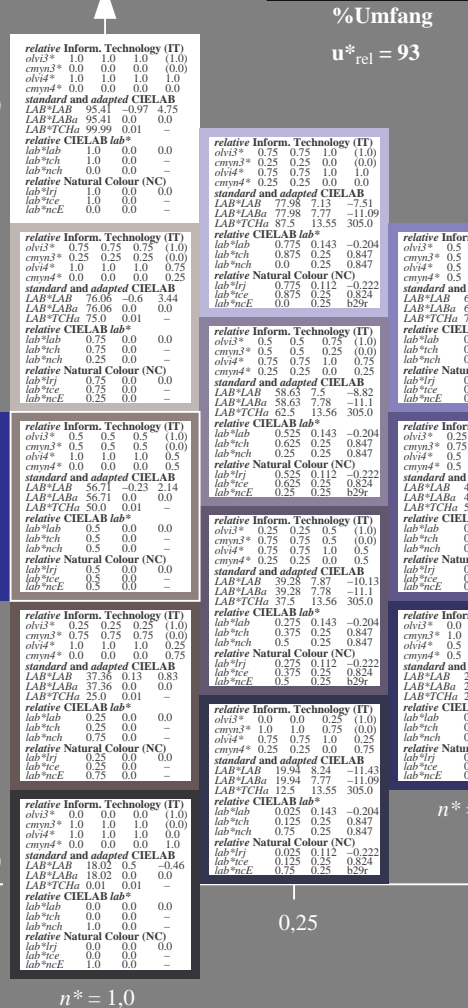
für Buntton $h^* = lab^*h = 305/360 = 0.847$
 lab^*tch und lab^*nch

D65: Buntton V
 LCH*Ma: 26 54 305
 rgb*Ma: 0.0 0.0 1.0

Dreiecks-Helligkeit



% Umfang
 $u^*_{rel} = 93$



ORS18; adaptierte CIELAB-Daten

	$L^*=L^*_a$	a^*_a	b^*_a	$C^*_{ab,a}$	$h^*_{ab,a}$
OMa	47.94	65.37	50.52	82.62	38
YMa	90.37	-10.27	91.77	92.34	96
LMa	50.9	-62.79	34.95	71.87	151
CMa	58.62	-30.35	-45.01	54.3	236
V _{Ma}	25.71	31.11	-44.42	54.24	305
M _{Ma}	48.13	75.27	-8.35	75.73	354
N _{Ma}	18.01	0.0	0.0	0.0	0
W _{Ma}	95.41	0.0	0.0	0.0	0
RCIE	39.92	58.66	26.98	64.56	25
JCIE	81.26	-2.17	67.76	67.79	92
GCIE	52.23	-42.26	11.75	43.87	164
BCIE	30.57	1.15	-46.84	46.87	271

%Regularität

$g^*_{H,rel} = 57$

$g^*_{C,rel} = 59$

UG460-7, 5stufige Reihen für konstanten CIELAB Buntton 290/360 = 0.807 (links)

5stufige Reihen für konstanten CIELAB Buntton 305/360 = 0.847 (rechts)

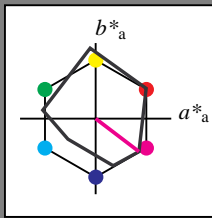
BAM-Prüfvorlage UG46; Farbmetrik-Systeme ORS18 & ORS18input: *cmY0* setcmYcolor*
 D65: 5stufige Farbreihen und Koordinaten-Daten für 10 Bunttöneoutput: *Startup (S) data dependend*

Eingabe: Farbmatisches Reflexions-System MRS18a

für Buntton $h^* = lab^*h = 323/360 = 0.896$
 lab^*tch und lab^*nch

D65: Buntton B50R
 LCH*Ma: 35 72 323
 rgb*Ma: 1.0 0.0 1.0

Dreiecks-Helligkeit



MRS18a; adaptierte CIELAB-Daten

	$L^*=L^*_a$	a^*_a	b^*_a	$C^*_{ab,a}$	$h^*_{ab,a}$
RMa	49.63	66.8	40.02	77.87	31
JMa	90.7	-7.27	93.19	93.48	94
GMa	52.11	-69.93	11.26	70.85	171
G50B _{Ma}	45.03	-36.65	-27.13	45.61	217
B _{Ma}	36.65	23.26	-62.27	66.49	290
B50R _{Ma}	34.94	57.27	-43.6	71.99	323
N _{Ma}	18.01	0.0	0.0	0.0	0
W _{Ma}	95.41	0.0	0.0	0.0	0
RCIE	39.92	58.67	27.97	64.99	25
JCIE	81.26	-2.91	71.56	71.62	92
GCIE	52.23	-42.47	13.58	44.6	162
BCIE	30.57	1.33	-46.48	46.51	272

%Regularität

$g^*_{H,rel} = 42$

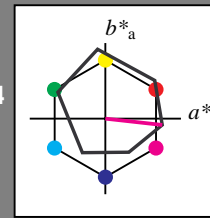
$g^*_{C,rel} = 49$

Ausgabe: Farbmatisches Reflexions-System ORS18

für Buntton $h^* = lab^*h = 354/360 = 0.982$
 lab^*tch und lab^*nch

D65: Buntton M
 LCH*Ma: 48 76 354
 rgb*Ma: 1.0 0.0 1.0

Dreiecks-Helligkeit



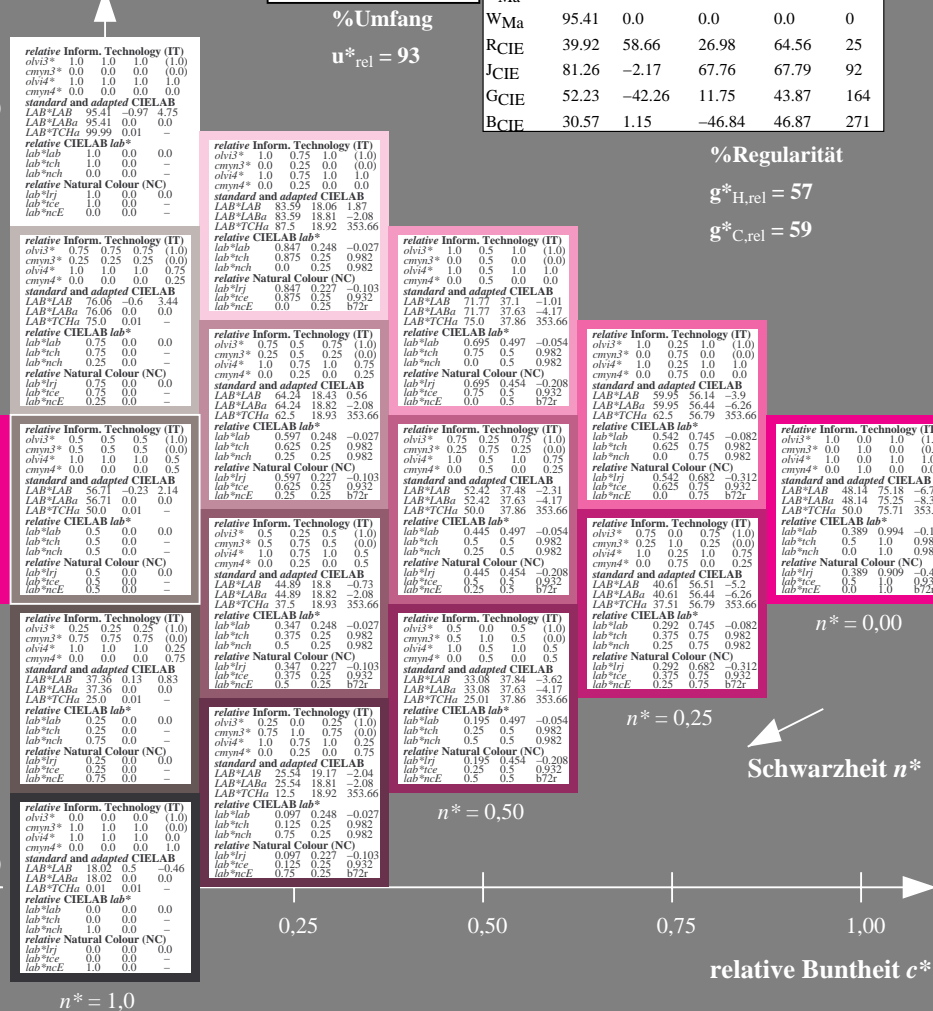
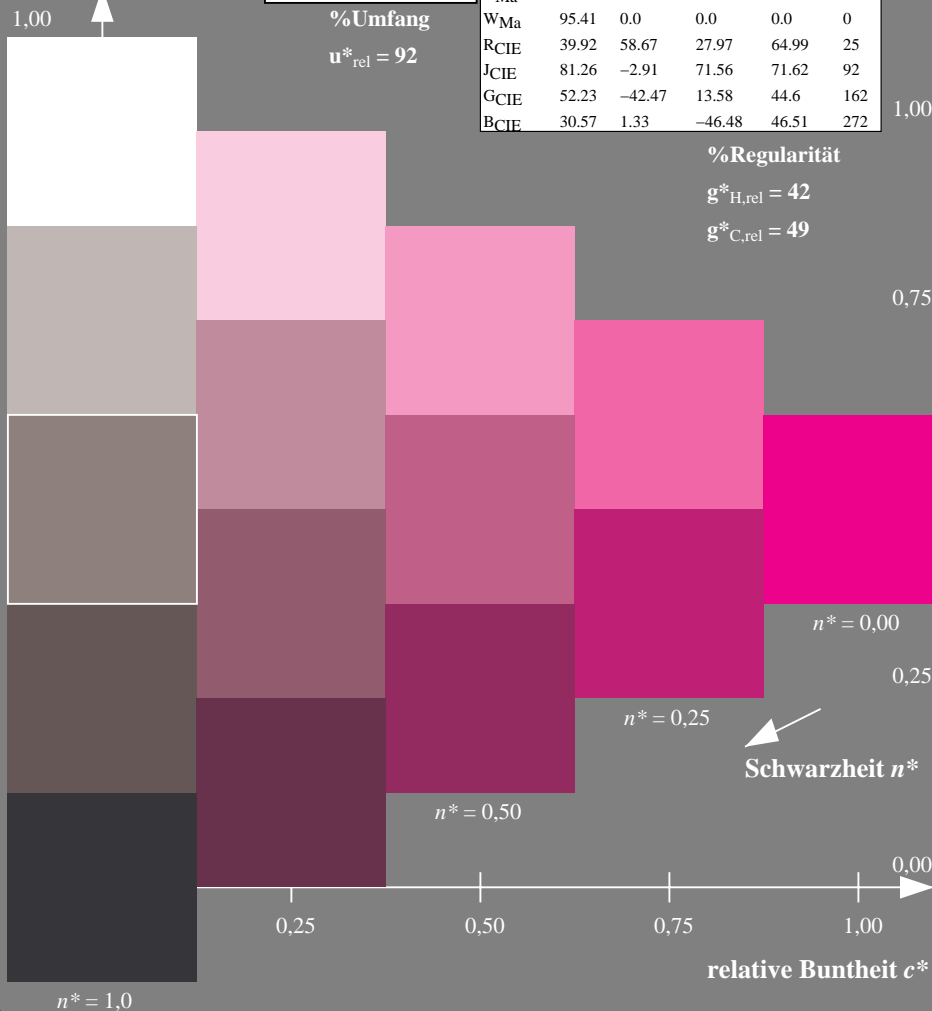
ORS18; adaptierte CIELAB-Daten

	$L^*=L^*_a$	a^*_a	b^*_a	$C^*_{ab,a}$	$h^*_{ab,a}$
OMa	47.94	65.37	50.52	82.62	38
YMa	90.37	-10.27	91.77	92.34	96
LMa	50.9	-62.79	34.95	71.87	151
CMa	58.62	-30.35	-45.01	54.3	236
V _{Ma}	25.71	31.11	-44.42	54.24	305
M _{Ma}	48.13	75.27	-8.35	75.73	354
N _{Ma}	18.01	0.0	0.0	0.0	0
W _{Ma}	95.41	0.0	0.0	0.0	0
RCIE	39.92	58.66	26.98	64.56	25
JCIE	81.26	-2.17	67.76	67.79	92
GCIE	52.23	-42.26	11.75	43.87	164
BCIE	30.57	1.15	-46.84	46.87	271

%Regularität

$g^*_{H,rel} = 57$

$g^*_{C,rel} = 59$



UG460-7, 5stufige Reihen für konstanten CIELAB Buntton 323/360 = 0.896 (links)

5 stufige Reihen für konstanten CIELAB Buntton 354/360 = 0.982 (rechts)

BAM-Prüfvorlage UG46; Farbmatrik-Systeme ORS18 & ORS18input: *cmY0* setcmykcolor*

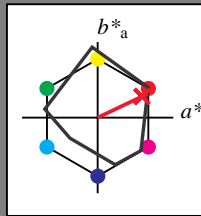
D65: 5stufige Farbreihen und Koordinaten-Daten für 10 Bunttöneoutput: *Startup (S) data dependend*

Eingabe: Farbmetrisches Reflexions-System MRS18a

für Buntton $h^* = lab^*h = 25/360 = 0.071$
 lab^*tch und lab^*nch

D65: Buntton R
 LCH*Ma: 48 73 25
 rgb*Ma: 1.0 0.0 0.1

Dreiecks-Helligkeit



MRS18a; adaptierte CIELAB-Daten

	$L^*=L^*_a$	a^*_a	b^*_a	$C^*_{ab,a}$	$h^*_{ab,a}$
RMa	49.63	66.8	40.02	77.87	31
JMa	90.7	-7.27	93.19	93.48	94
GMa	52.11	-69.93	11.26	70.85	171
G50BMa	45.03	-36.65	-27.13	45.61	217
BMa	36.65	23.26	-62.27	66.49	290
B50RMa	34.94	57.27	-43.6	71.99	323
NMa	18.01	0.0	0.0	0.0	0
WMa	95.41	0.0	0.0	0.0	0
RCIE	39.92	58.67	27.97	64.99	25
JCIE	81.26	-2.91	71.56	71.62	92
GCIE	52.23	-42.47	13.58	44.6	162
BCIE	30.57	1.33	-46.48	46.51	272

%Regularität

$g^*_{H,rel} = 42$

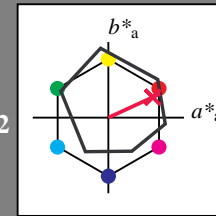
$g^*_{C,rel} = 49$

Ausgabe: Farbmetrisches Reflexions-System ORS18

für Buntton $h^* = lab^*h = 25/360 = 0.069$
 lab^*tch und lab^*nch

D65: Buntton R
 LCH*Ma: 48 75 25
 rgb*Ma: 1.0 0.0 0.32

Dreiecks-Helligkeit



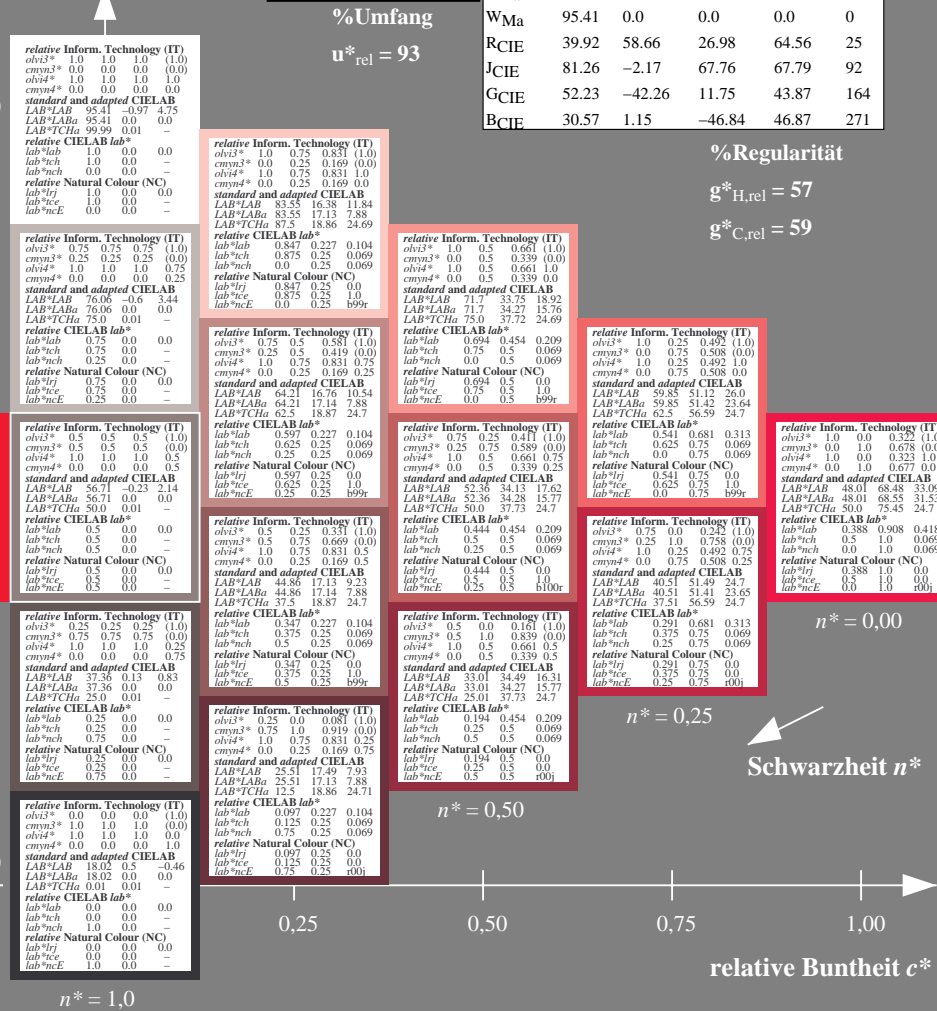
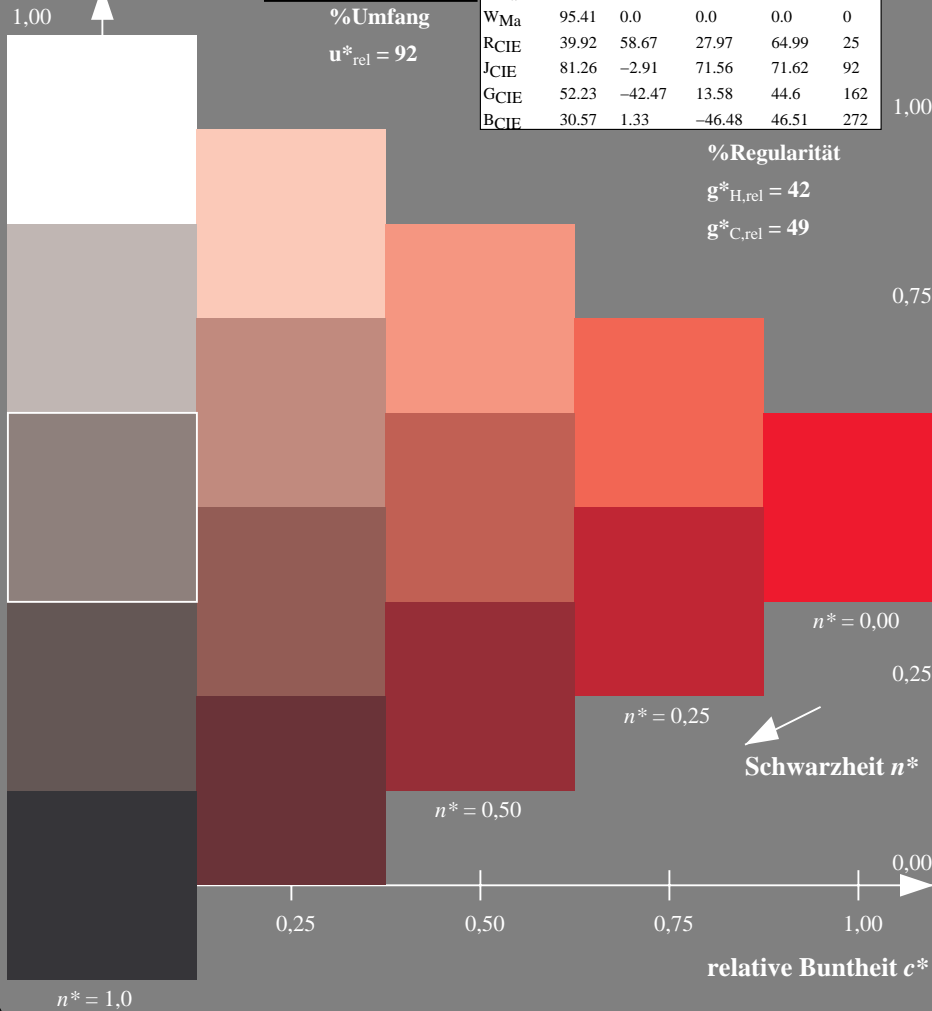
ORS18; adaptierte CIELAB-Daten

	$L^*=L^*_a$	a^*_a	b^*_a	$C^*_{ab,a}$	$h^*_{ab,a}$
OMa	47.94	65.37	50.52	82.62	38
YMa	90.37	-10.27	91.77	92.34	96
LMa	50.9	-62.79	34.95	71.87	151
CMa	58.62	-30.35	-45.01	54.3	236
VMa	25.71	31.11	-44.42	54.24	305
MMa	48.13	75.27	-8.35	75.73	354
NMa	18.01	0.0	0.0	0.0	0
WMa	95.41	0.0	0.0	0.0	0
RCIE	39.92	58.66	26.98	64.56	25
JCIE	81.26	-2.17	67.76	67.79	92
GCIE	52.23	-42.26	11.75	43.87	164
BCIE	30.57	1.15	-46.84	46.87	271

%Regularität

$g^*_{H,rel} = 57$

$g^*_{C,rel} = 59$



UG460-7, 5stufige Reihen für konstanten CIELAB Buntton 25/360 = 0.071 (links)

5 stufige Reihen für konstanten CIELAB Buntton 25/360 = 0.069 (rechts)

BAM-Prüfvorlage UG46; Farbmetrik-Systeme ORS18 & ORS18input: *cmY0** *setcmYcolor*

D65: 5stufige Farbreihen und Koordinaten-Daten für 10 Bunttöneoutput: *Startup (S) data dependend*

Siehe ähnliche Dateien: <http://www.ps.bam.de/UG46/>
 Technische Information: <http://www.ps.bam.de/Version 2.1, io=0,0?>

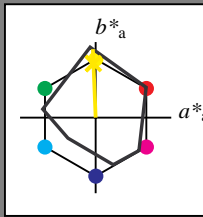
BAM-Registrierung: 20060101-UG46/10Q/Q46G06SP.PS/.PDF BAM-Material: Code=rh4ta
 Anwendung für Beurteilung und Messung von Drucker- oder Monitorsystemen
 UG46 Form: 7/10, Serie: 1/1, Seite: 7
 Scherz hung 7

Eingabe: Farbmetrisches Reflexions-System MRS18a

für Buntton $h^* = lab^*h = 92/360 = 0.256$
 lab^*tch und lab^*nch

D65: Buntton J
 LCH*Ma: 89 91 92
 rgb*Ma: 1.0 0.95 0.0

Dreiecks-Helligkeit



%Umfang

$u^*_{rel} = 92$

MRS18a; adaptierte CIELAB-Daten

	$L^*=L^*_a$	a^*_a	b^*_a	$C^*_{ab,a}$	$h^*_{ab,a}$
RMa	49.63	66.8	40.02	77.87	31
JMa	90.7	-7.27	93.19	93.48	94
GMa	52.11	-69.93	11.26	70.85	171
G50B _{Ma}	45.03	-36.65	-27.13	45.61	217
B _{Ma}	36.65	23.26	-62.27	66.49	290
B50R _{Ma}	34.94	57.27	-43.6	71.99	323
N _{Ma}	18.01	0.0	0.0	0.0	0
W _{Ma}	95.41	0.0	0.0	0.0	0
RCIE	39.92	58.67	27.97	64.99	25
JCIE	81.26	-2.91	71.56	71.62	92
GCIE	52.23	-42.47	13.58	44.6	162
BCIE	30.57	1.33	-46.48	46.51	272

%Regularität

$g^*_{H,rel} = 42$

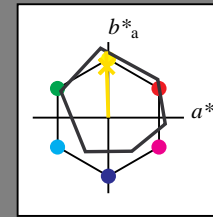
$g^*_{C,rel} = 49$

Ausgabe: Farbmetrisches Reflexions-System ORS18

für Buntton $h^* = lab^*h = 92/360 = 0.255$
 lab^*tch und lab^*nch

D65: Buntton J
 LCH*Ma: 86 88 92
 rgb*Ma: 1.0 0.9 0.0

Dreiecks-Helligkeit



%Umfang

$u^*_{rel} = 93$

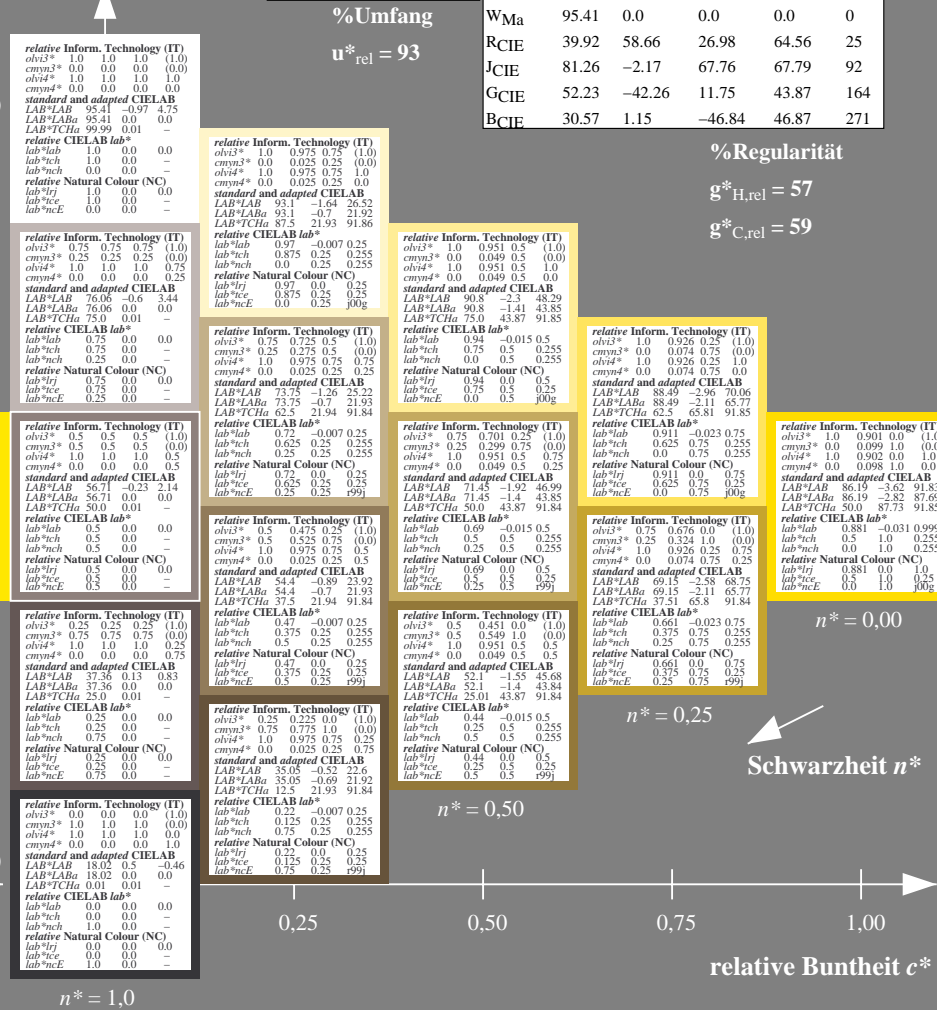
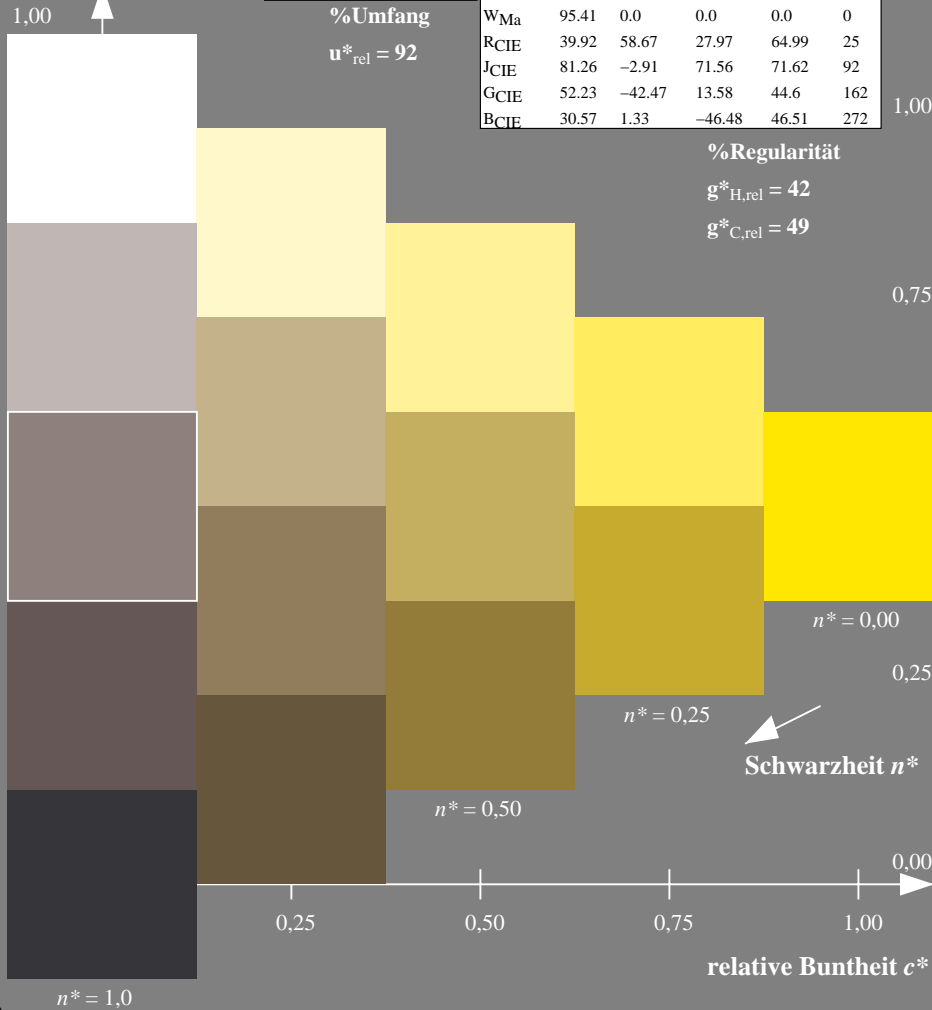
ORS18; adaptierte CIELAB-Daten

	$L^*=L^*_a$	a^*_a	b^*_a	$C^*_{ab,a}$	$h^*_{ab,a}$
OMa	47.94	65.37	50.52	82.62	38
YMa	90.37	-10.27	91.77	92.34	96
LMa	50.9	-62.79	34.95	71.87	151
CMa	58.62	-30.35	-45.01	54.3	236
V _{Ma}	25.71	31.11	-44.42	54.24	305
M _{Ma}	48.13	75.27	-8.35	75.73	354
N _{Ma}	18.01	0.0	0.0	0.0	0
W _{Ma}	95.41	0.0	0.0	0.0	0
RCIE	39.92	58.66	26.98	64.56	25
JCIE	81.26	-2.17	67.76	67.79	92
GCIE	52.23	-42.26	11.75	43.87	164
BCIE	30.57	1.15	-46.84	46.87	271

%Regularität

$g^*_{H,rel} = 57$

$g^*_{C,rel} = 59$



UG460-7, 5stufige Reihen für konstanten CIELAB Bunton 92/360 = 0.256 (links)

5stufige Reihen für konstanten CIELAB Bunton 92/360 = 0.255 (rechts)

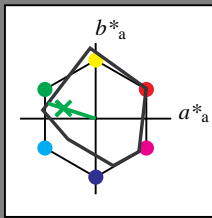
BAM-Prüfvorlage UG46; Farbmetrik-Systeme ORS18 & ORS18input: $cmY0^* setcmykcolor$
 D65: 5stufige Farbreihen und Koordinaten-Daten für 10 Bunttöneoutput: *Startup (S) data dependend*

Eingabe: Farbmetrisches Reflexions-System MRS18a

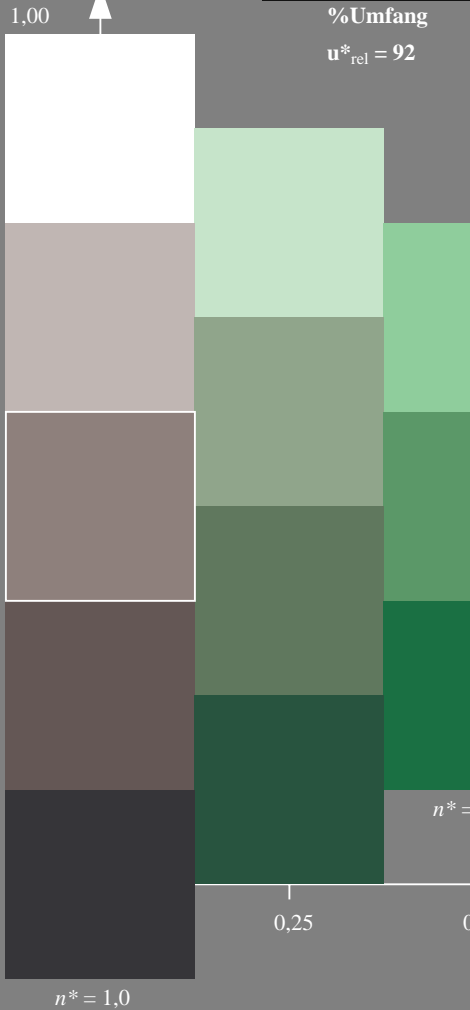
für Buntton $h^* = lab^*h = 162/360 = 0.451$
 lab^*tch und lab^*nch

D65: Buntton G
 LCH*Ma: 56 66 162
 rgb*Ma: 0.11 1.0 0.0

Dreiecks-Helligkeit



%Umfang
 $u^*_{rel} = 92$



MRS18a; adaptierte CIELAB-Daten

	$L^*=L^*_a$	a^*_a	b^*_a	$C^*_{ab,a}$	$h^*_{ab,a}$
RMa	49.63	66.8	40.02	77.87	31
JMa	90.7	-7.27	93.19	93.48	94
GMa	52.11	-69.93	11.26	70.85	171
G50B _{Ma}	45.03	-36.65	-27.13	45.61	217
B _{Ma}	36.65	23.26	-62.27	66.49	290
B50R _{Ma}	34.94	57.27	-43.6	71.99	323
N _{Ma}	18.01	0.0	0.0	0.0	0
W _{Ma}	95.41	0.0	0.0	0.0	0
RCIE	39.92	58.67	27.97	64.99	25
JCIE	81.26	-2.91	71.56	71.62	92
GCIE	52.23	-42.47	13.58	44.6	162
BCIE	30.57	1.33	-46.48	46.51	272

%Regularität

$g^*_{H,rel} = 42$

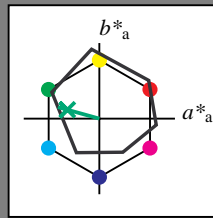
$g^*_{C,rel} = 49$

Ausgabe: Farbmetrisches Reflexions-System ORS18

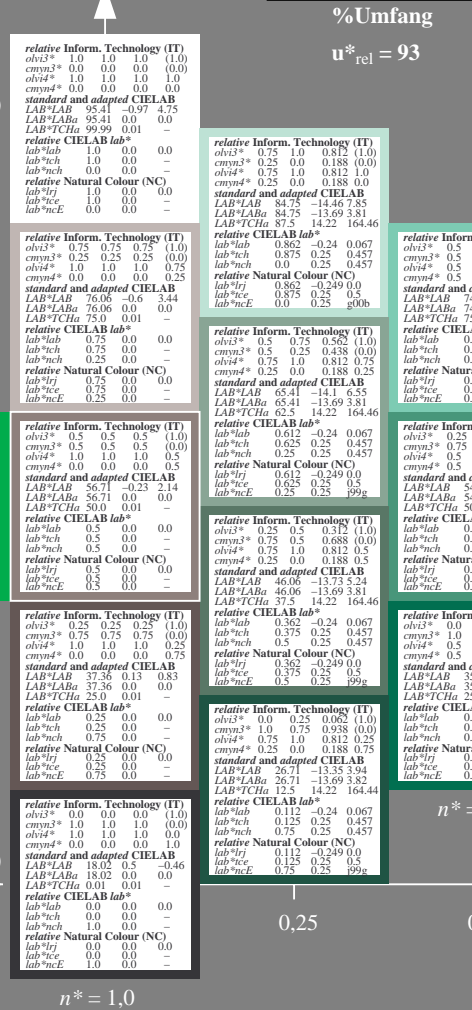
für Buntton $h^* = lab^*h = 164/360 = 0.457$
 lab^*tch und lab^*nch

D65: Buntton G
 LCH*Ma: 53 57 164
 rgb*Ma: 0.0 1.0 0.25

Dreiecks-Helligkeit



%Umfang
 $u^*_{rel} = 93$



ORS18; adaptierte CIELAB-Daten

	$L^*=L^*_a$	a^*_a	b^*_a	$C^*_{ab,a}$	$h^*_{ab,a}$
OMa	47.94	65.37	50.52	82.62	38
YMa	90.37	-10.27	91.77	92.34	96
LMa	50.9	-62.79	34.95	71.87	151
CMa	58.62	-30.35	-45.01	54.3	236
VMa	25.71	31.11	-44.42	54.24	305
MMa	48.13	75.27	-8.35	75.73	354
N _{Ma}	18.01	0.0	0.0	0.0	0
W _{Ma}	95.41	0.0	0.0	0.0	0
RCIE	39.92	58.66	26.98	64.56	25
JCIE	81.26	-2.17	67.76	67.79	92
GCIE	52.23	-42.26	11.75	43.87	164
BCIE	30.57	1.15	-46.84	46.87	271

%Regularität

$g^*_{H,rel} = 57$

$g^*_{C,rel} = 59$

UG460-7, 5stufige Reihen für konstanten CIELAB Buntton 162/360 = 0.451 (links)

5stufige Reihen für konstanten CIELAB Buntton 164/360 = 0.457 (rechts)

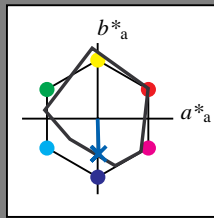
BAM-Prüfvorlage UG46; Farbmetrik-Systeme ORS18 & ORS18input: *cmY0* setcmYcolor*
 D65: 5stufige Farbreihen und Koordinaten-Daten für 10 Bunttöneoutput: *Startup (S) data dependend*

Eingabe: Farbmetrisches Reflexions-System MRS18a

für Buntton $h^* = lab^*h = 272/360 = 0.755$
 lab^*tch und lab^*nch

D65: Buntton B
 LCH*Ma: 40 49 272
 rgb*Ma: 0.0 0.36 1.0

Dreiecks-Helligkeit



MRS18a; adaptierte CIELAB-Daten

	$L^*=L^*_a$	a^*_a	b^*_a	$C^*_{ab,a}$	$h^*_{ab,a}$
RMa	49.63	66.8	40.02	77.87	31
JMa	90.7	-7.27	93.19	93.48	94
GMa	52.11	-69.93	11.26	70.85	171
G50B _{Ma}	45.03	-36.65	-27.13	45.61	217
B _{Ma}	36.65	23.26	-62.27	66.49	290
B50R _{Ma}	34.94	57.27	-43.6	71.99	323
N _{Ma}	18.01	0.0	0.0	0.0	0
W _{Ma}	95.41	0.0	0.0	0.0	0
RCIE	39.92	58.67	27.97	64.99	25
JCIE	81.26	-2.91	71.56	71.62	92
GCIE	52.23	-42.47	13.58	44.6	162
BCIE	30.57	1.33	-46.48	46.51	272

%Regularität

$g^*_{H,rel} = 42$

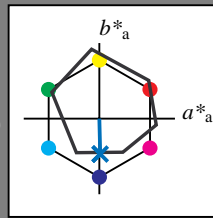
$g^*_{C,rel} = 49$

Ausgabe: Farbmetrisches Reflexions-System ORS18

für Buntton $h^* = lab^*h = 271/360 = 0.754$
 lab^*tch und lab^*nch

D65: Buntton B
 LCH*Ma: 42 45 271
 rgb*Ma: 0.0 0.49 1.0

Dreiecks-Helligkeit



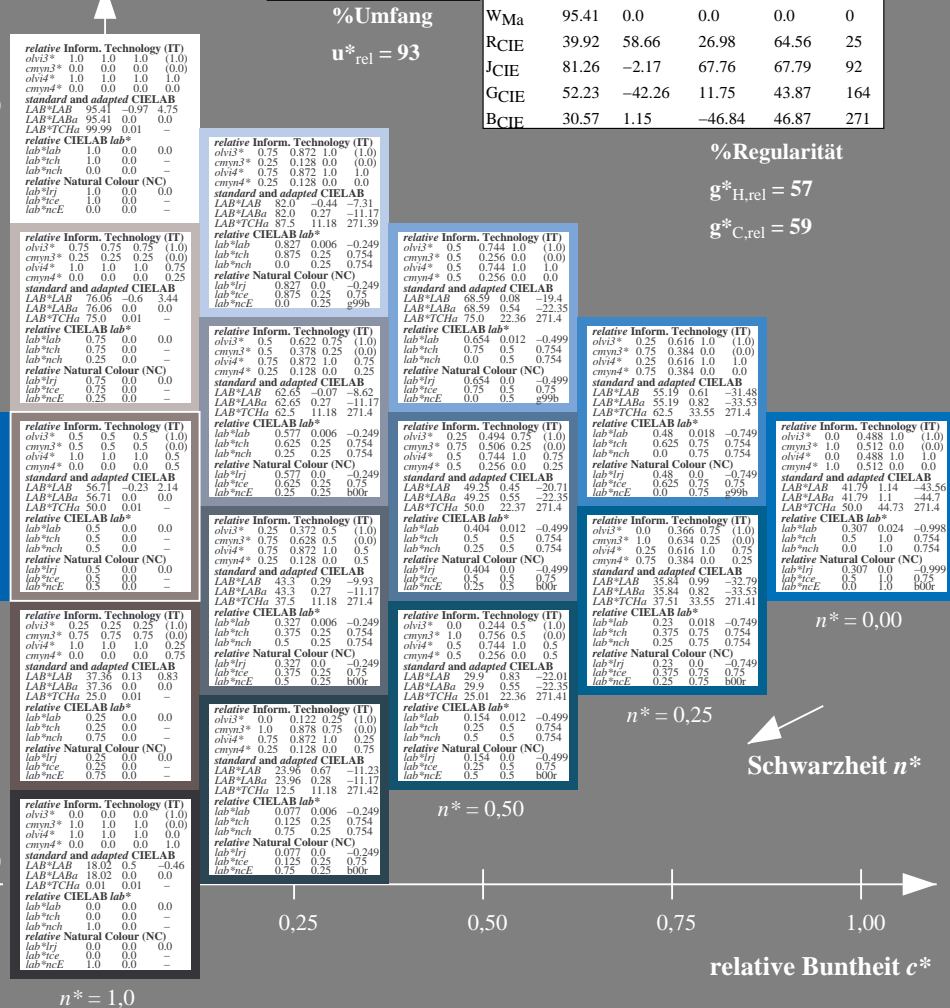
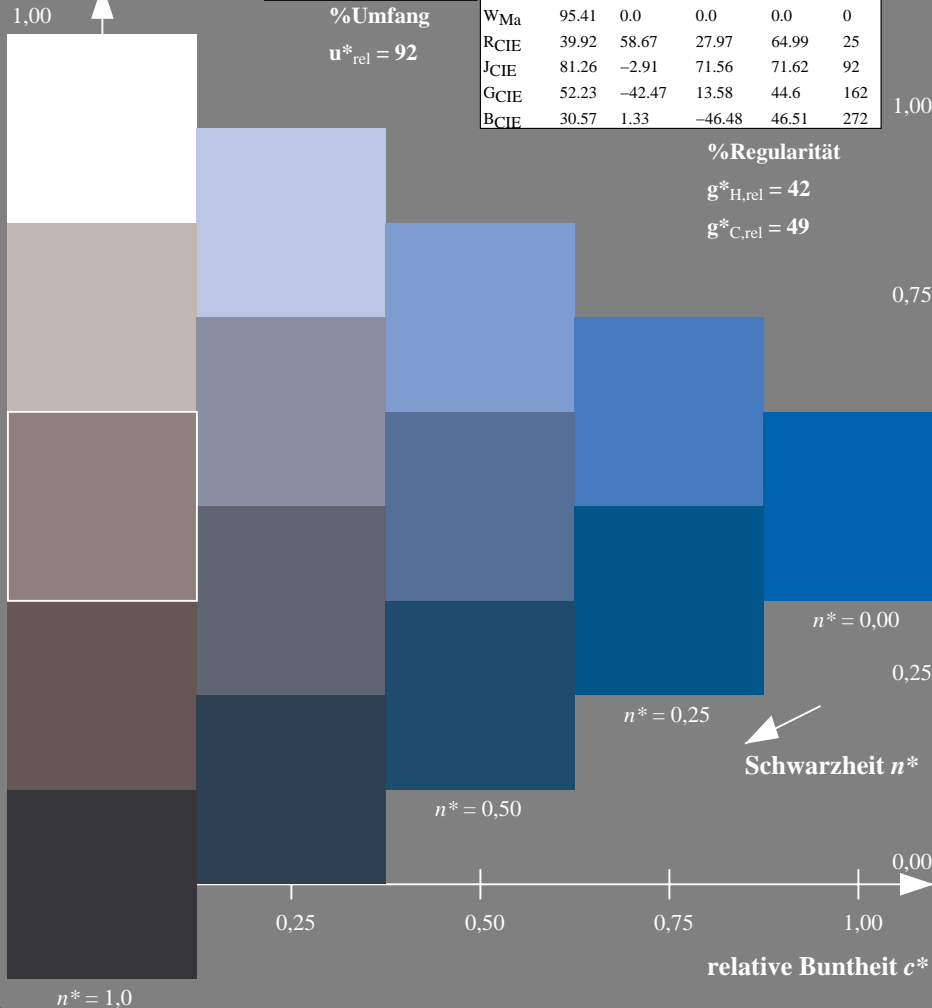
ORS18; adaptierte CIELAB-Daten

	$L^*=L^*_a$	a^*_a	b^*_a	$C^*_{ab,a}$	$h^*_{ab,a}$
OMa	47.94	65.37	50.52	82.62	38
YMa	90.37	-10.27	91.77	92.34	96
LMa	50.9	-62.79	34.95	71.87	151
CMa	58.62	-30.35	-45.01	54.3	236
V _{Ma}	25.71	31.11	-44.42	54.24	305
M _{Ma}	48.13	75.27	-8.35	75.73	354
N _{Ma}	18.01	0.0	0.0	0.0	0
W _{Ma}	95.41	0.0	0.0	0.0	0
RCIE	39.92	58.66	26.98	64.56	25
JCIE	81.26	-2.17	67.76	67.79	92
GCIE	52.23	-42.26	11.75	43.87	164
BCIE	30.57	1.15	-46.84	46.87	271

%Regularität

$g^*_{H,rel} = 57$

$g^*_{C,rel} = 59$



UG460-7, 5stufige Reihen für konstanten CIELAB Buntton 272/360 = 0.755 (links)

5stufige Reihen für konstanten CIELAB Buntton 271/360 = 0.754 (rechts)

BAM-Prüfvorlage UG46; Farbmetrik-Systeme ORS18 & ORS18input: $cmY0^*$ setcmYcolor

D65: 5stufige Farbreihen und Koordinaten-Daten für 10 Bunttöneoutput: Startup (S) data dependend

Siehe ähnliche Dateien: <http://www.ps.bam.de/UG46/>
 Technische Information: <http://www.ps.bam.de/Version 2.1, io=0,0?>

BAM-Registrierung: 20060101-UG46/10Q/Q46G09SP.PS/.PDF BAM-Material: Code=rhatha
 Anwendung für Beurteilung und Messung von Drucker- oder Monitorsystemen
 UG46 Form: 1010Ser: 1/1, Seite: 10
 Scherzhang 10